

Wydział, kierunek: WFiIS, FT	Imię i nazwisko: Marcin Mikołajczyk	Rok: 3	Grupa: 1
Data wykonania:	Data oddania:	OCENA:	
31 maja 2025	31 maja 2025		

Projekt 2 – Równanie Poissona: relaksacja i nadrelaksacja

Wstęp[1]

Celem projektu jest rozwiązanie równania Poissona w 2D:

$$\nabla^2 u = -\rho(x, y), \quad (1)$$

gdzie gęstość ładunku:

$$\rho(x, y) = \exp\left(-\frac{(x - x_0)^2 + y^2}{d^2}\right) - \exp\left(-\frac{(x + x_0)^2 + y^2}{d^2}\right),$$

przy $d = 4$, $x_0 = 4$.

Pracujemy na siatce $[-N, \dots, N] \times [-N, \dots, N]$ z krokiem $dx = 1$ w obydwu kierunkach.

Układ umieszczony jest w metalowym kwadratowym uziemionym pudle. Stąd warunki brzegowe $u(x, y) = 0$ gdy $|x| = N$ lub $|y| = N$.

Przyjmujemy $N = 31$.

Z dyskretyzacji równania otrzymano przepis relaksacyjny, gdzie jedna iteracja procedury relaksacji polega na zastosowaniu wzoru (2) dla wszystkich punktów siatki poza brzegiem.

$$u(i, j) := \frac{u(i+1, j) + u(i-1, j) + u(i, j+1) + u(i, j-1) + \rho(i, j)dx^2}{4}. \quad (2)$$

Zbieżność iterowanej funkcji do rozwiązania równania Poissona można śledzić licząc całkę z gęstości lagranżjanu dla układu ładunek-pole:

$$S = \int_P \left[\frac{1}{2} \left(\left(\frac{\partial u}{\partial x} \right)^2 + \left(\frac{\partial u}{\partial y} \right)^2 \right) - \rho(x, y)u(x, y) \right] dx dy. \quad (3)$$

Ze względu na to, że operator pochodnej jest antyhermitowski, wyrażenie to można przepisać do formy:

$$S = - \int_P \left[\frac{1}{2} u \frac{\partial^2 u}{\partial x^2} + \frac{1}{2} u \frac{\partial^2 u}{\partial y^2} + \rho(x, y)u(x, y) \right] dx dy. \quad (4)$$

W wersji dyskretnej:

$$S = - \sum_{i,j=-N+1}^{N-1} \left[\frac{1}{2} u(i, j) \frac{u(i+1, j) + u(i-1, j) - 2u(i, j)}{dx^2} \right. \quad (5)$$

$$\left. + \frac{1}{2} u(i, j) \frac{u(i, j+1) + u(i, j-1) - 2u(i, j)}{dx^2} \right. \quad (6)$$

$$\left. + \rho(i, j)u(i, j) \right] dx^2. \quad (7)$$

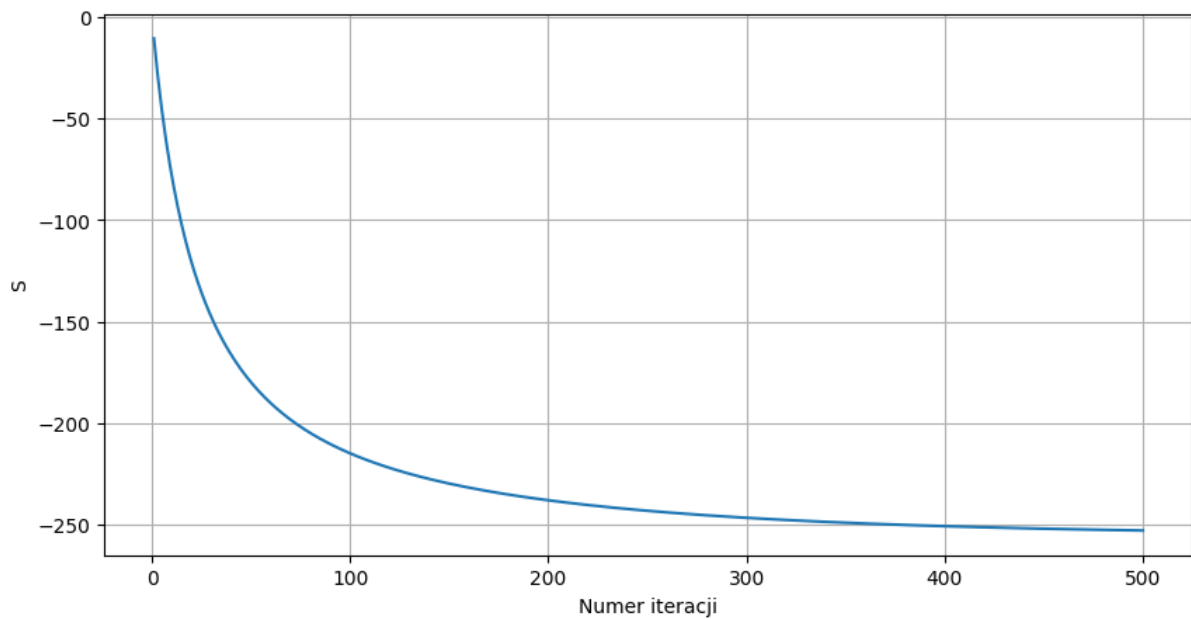
Im niższa wartość S , tym bliższy wynik dokładnego rozwiązania. Jakość rozwiązania przybliżonego można również ocenić odwracając równanie Poissona i sprawdzić, w jakim stopniu ρ' odtwarza ρ :

$$\rho'(x, y) = -\frac{u(i+1, j) + u(i-1, j) + u(i, j+1) + u(i, j-1) - 4u(i, j)}{dx^2}. \quad (8)$$

Zadanie 1

Liczmy do 500 iteracji pętli relaksacyjnej. Startujemy od $u = 0$. Obliczono wartości funkcjonału S , przybliżoną gęstość ładunku ρ' oraz różnicę $\delta(x, y) = \rho'(x, y) - \rho(x, y)$.

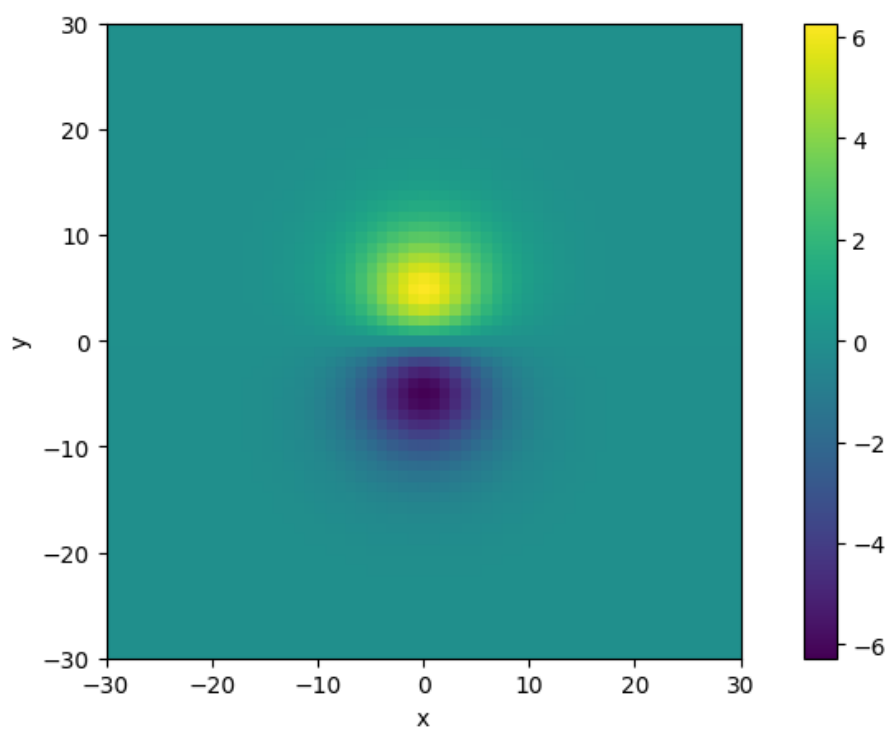
1.1



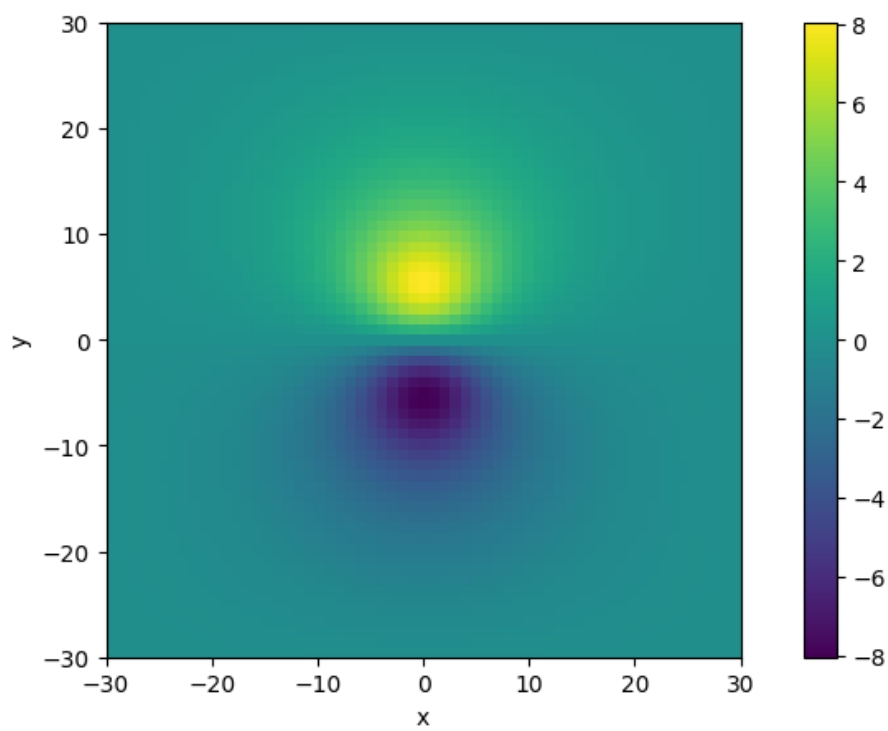
Rysunek 1: Wykres S od numeru iteracji.

Wartość funkcjonału S maleje w miarę kolejnych iteracji.

1.2

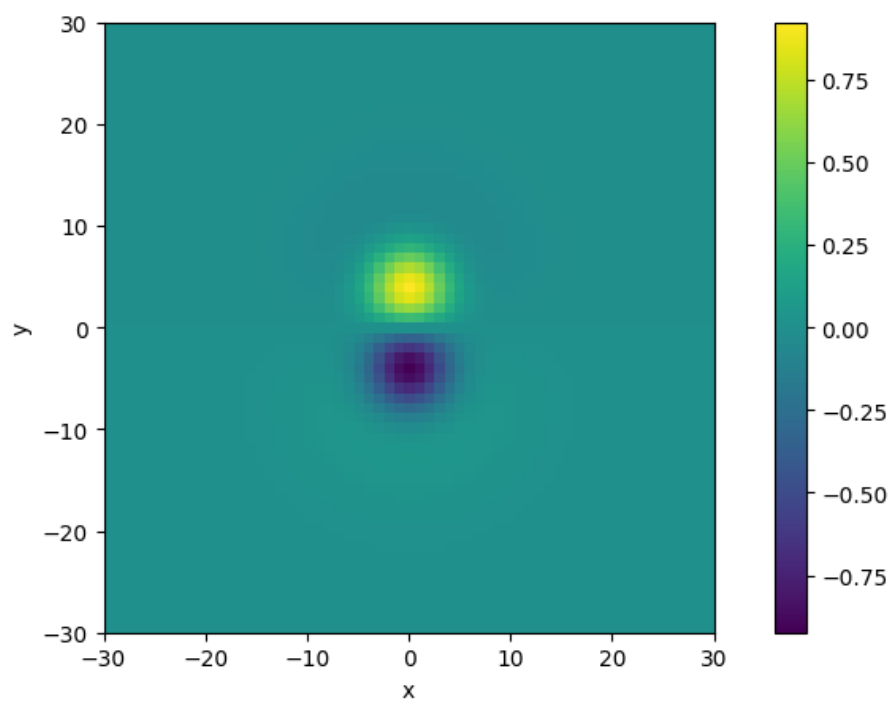


Rysunek 2: Wykres potencjału u po 100 iteracjach.

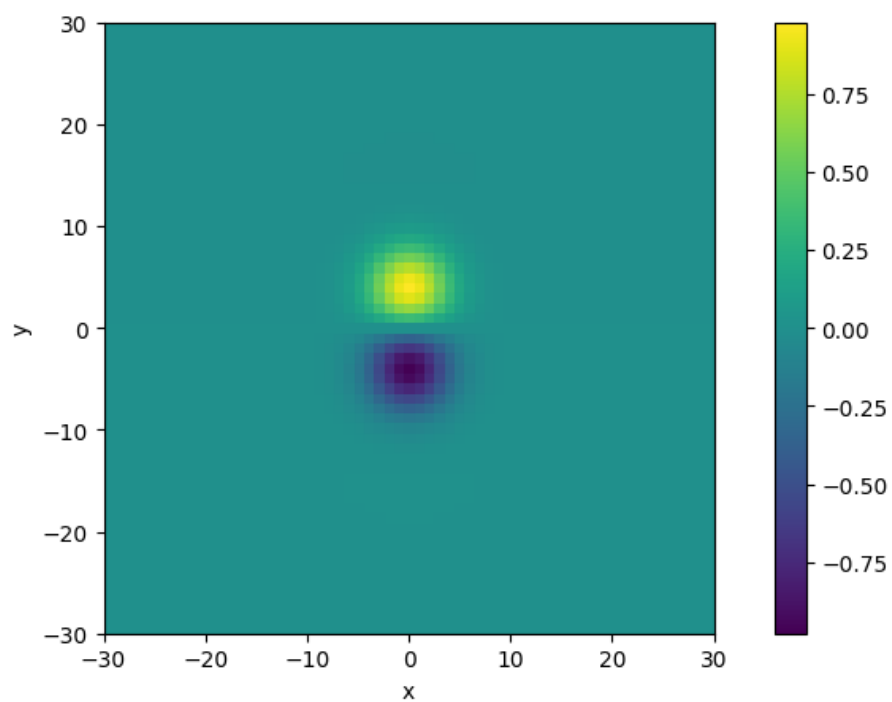


Rysunek 3: Wykres potencjału u po 500 iteracjach.

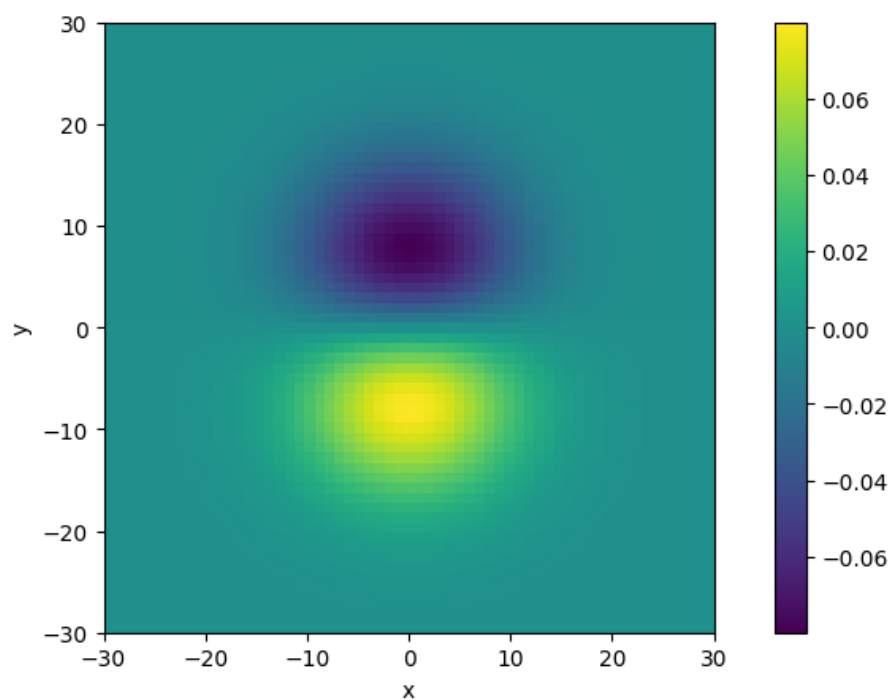
1.3 ρ' i $\delta(x, y) = \rho'(x, y) - \rho(x, y)$.



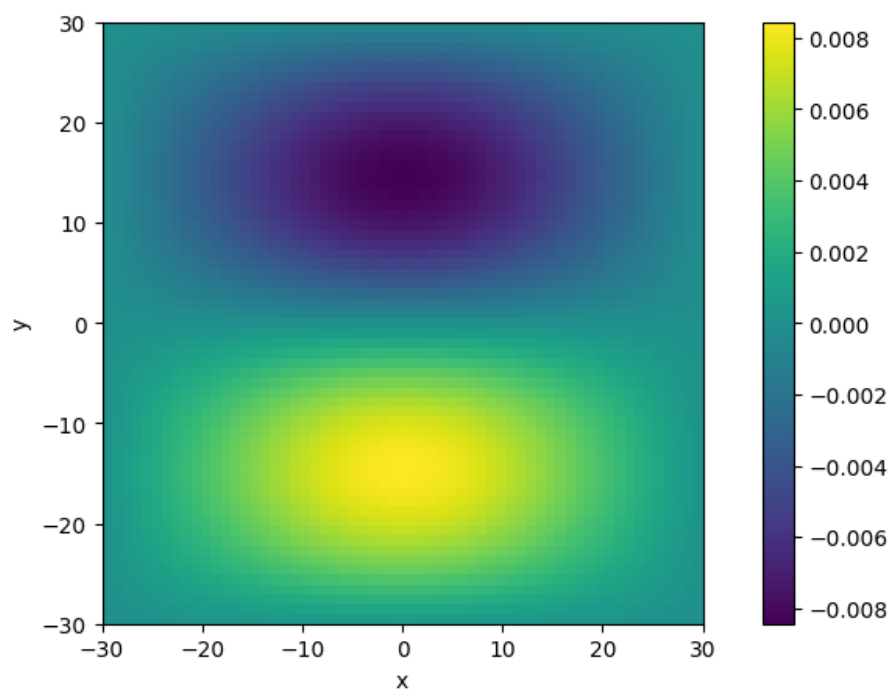
Rysunek 4: Wykres ρ' po 100 iteracjach.



Rysunek 5: Wykres ρ' po 500 iteracjach.



Rysunek 6: Wykres $\delta(x, y)$ po 100 iteracjach.



Rysunek 7: Wykres $\delta(x, y)$ po 500 iteracjach.

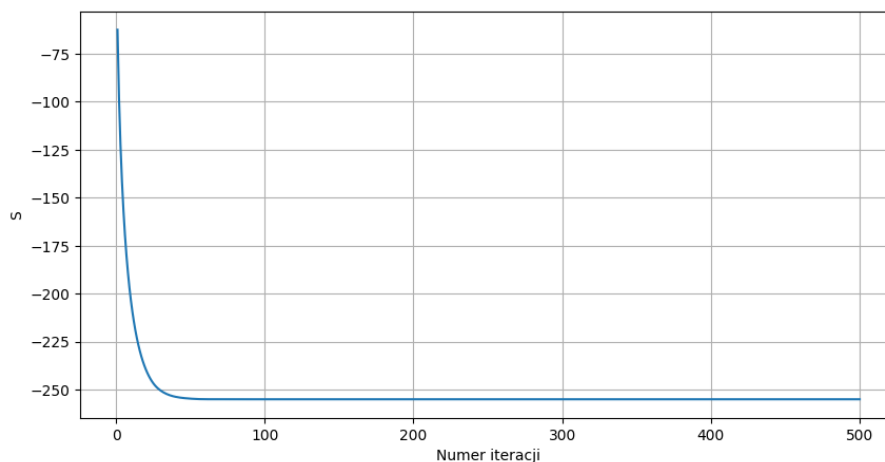
Mała różnica $\delta(x, y)$ pokazuje, że ρ' jest dobrym odwzorowaniem funkcji pierwotnej. Wraz z liczbą iteracji różnica ta maleje.

Zadanie 2

Modyfikacja wzoru relaksacyjnego:

$$u(i, j) := (1 - w)u(i, j) + w \cdot \frac{u(i+1, j) + u(i-1, j) + u(i, j+1) + u(i, j-1) + \rho(i, j)dx^2}{4}, \quad (9)$$

gdzie $w > 1$ to współczynnik nadrelaksacji. Przyjęto $w = 1.9$.



Rysunek 8: Wykres S od numeru iteracji.

Szybciej obniżona wartość funkcjonału. Zbieżność jest znacznie szybsza niż w zadaniu 1. Stabilizacja w około 50 krokach.

Zadanie 3

Rozwiązanie równania Poissona można uzyskać również minimalizując bezpośrednio funkcjonał S .

Dla każdego punktu (i, j) :

1. Obliczono $S(\delta_1 = 0)$, $S(\delta_2 = 0.5)$, $S(\delta_3 = 1)$.
2. Wyznaczono ekstremum parabolicznego S:

$$\delta_4 = \frac{1}{4} \cdot \frac{3S_1 - 4S_2 + S_3}{S_1 - 2S_2 + S_3}$$

3. Obliczono $S_4 = S(\delta_4)$.
4. Zmieniamy wartość potencjału $u(i, j)$ o $\delta_{i_{\min}}$, gdzie $S(\delta_{i_{\min}})$ jest najmniejsze z S_1-S_4 .

Obliczono liczmy lokalny przyczynek do S :

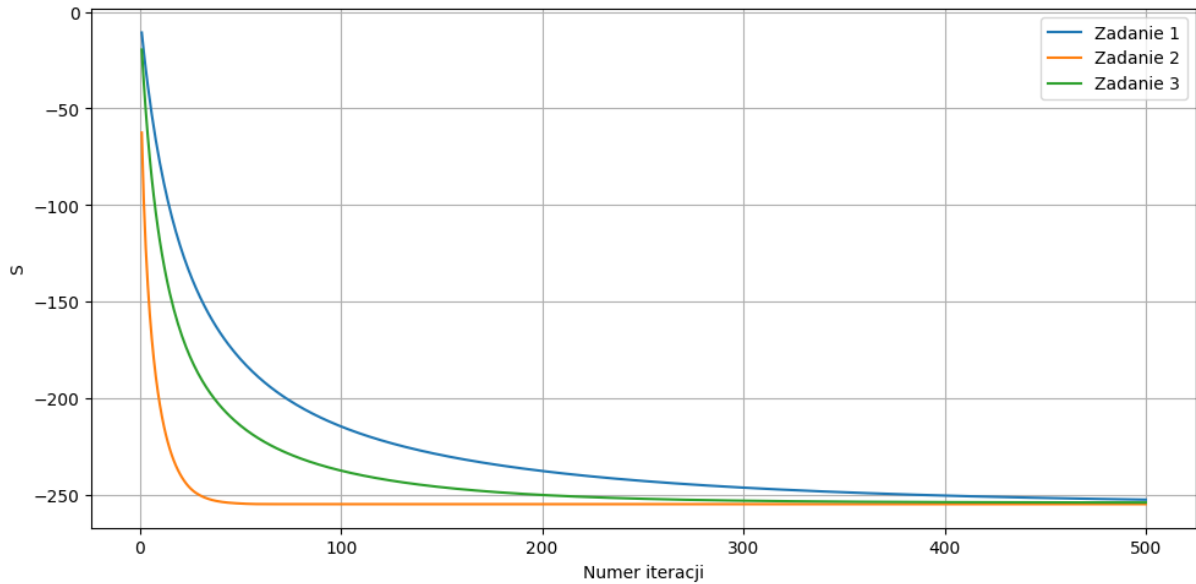
$$S_{\text{loc}}(u_{i_0, j_0}) = - \sum_{i=i_0-1}^{i_0+1} \sum_{j=j_0-1}^{j_0+1} \left[\frac{1}{2} u(i, j) \frac{u(i+1, j) + u(i-1, j) - 2u(i, j)}{dx^2} \right. \quad (10)$$

$$\left. + \frac{1}{2} u(i, j) \frac{u(i, j+1) + u(i, j-1) - 2u(i, j)}{dx^2} + \rho(i, j)u(i, j) \right] dx^2. \quad (11)$$

Wersja uproszczona (odporna na wyjście poza tablicę):

$$S_{\text{loc}}(u_{i_0, j_0}) = -\frac{1}{2} [2u(i_0, j_0)(u(i_0 + 1, j_0) + u(i_0 - 1, j_0)) \quad (12)$$

$$+ u(i_0, j_0 + 1) + u(i_0, j_0 - 1)) - 4(u(i_0, j_0))^2 - \rho(i_0, j_0)u(i_0, j_0)dx^2] \quad (13)$$



Rysunek 9: Wykres S od numeru iteracji. Porównanie tempa zbieżności dla zadań 1, 2, 3.

Metoda ta zbiega szybciej niż pierwotna relaksacja z zadania 1, ale wolniej niż nadrelaksacja z zadania 2.

Zadanie 4

Iterację minimalizującą S można poprowadzić w kierunku gradientu S jako funkcji u_{ij} . Liczymy:

$$S^+ = S(u + d\delta_{ij}), \quad (14)$$

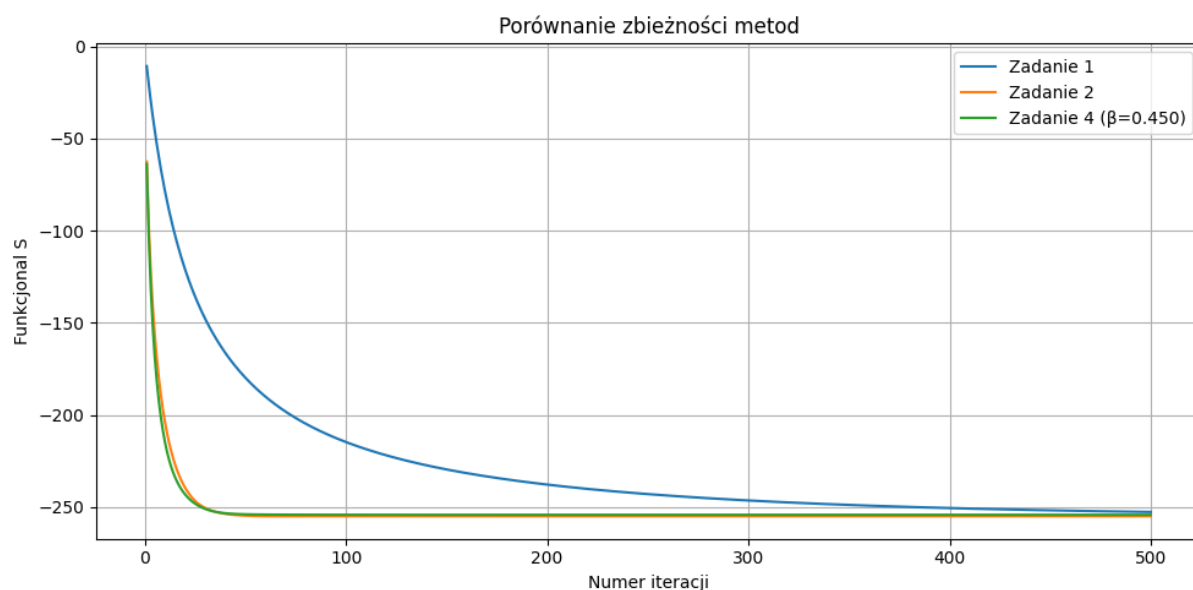
$$S^- = S(u - d\delta_{ij}), \quad (15)$$

$$\nabla_{ij}S \approx \frac{S^+ - S^-}{2d},$$

$$u(i, j) := u(i, j) - \beta \nabla_{ij}S.$$

Parametr iteracji powinien znajdować się w zakresie $\beta < 0.5$. Przyjęto $d = 0.001$.

Wyznaczone eksperymentalnie optymalne $\beta = 0,45$.



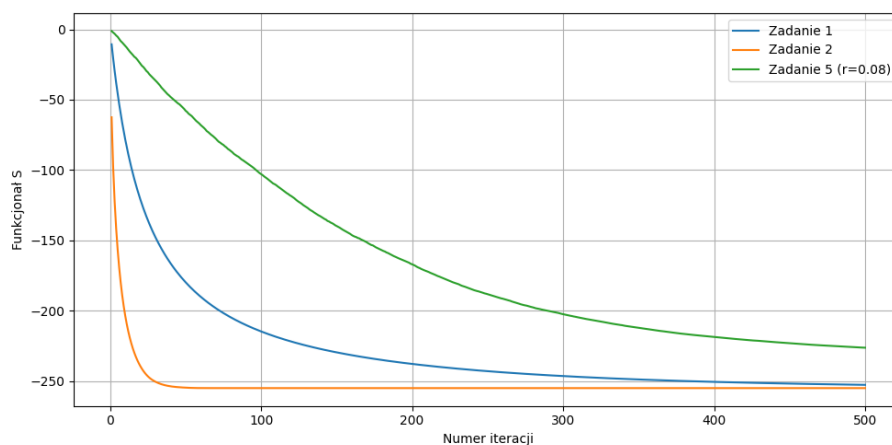
Rysunek 10: Wykres S od numeru iteracji. Porównanie tempa zbieżności dla zadań 1, 2, 4.

Zbiega równie szybko co nadrelaksacja z zadania 2. Wykorzystanie gradientu i dobrze dobranego parametru β sprawia, że metoda jest efektywniejsza obliczeniowo niż poprzednie metody.

Zadanie 5

Wartość u_{ij} zmieniano losowo w przedziale $(-r, r)$ zmianę akceptujemy tylko, jeśli S maleje. W jednej iteracji przechodzimy przez wszystkie punkty siatki.

Metodą prób dobrano $r=0.08$ będące kompromisem między szybkością zmian a stabilnością.



Rysunek 11: Wykres S od numeru iteracji. Porównanie tempa zbieżności dla zadań 1, 2, 5.

Z powodu trudności doboru parametru r metoda ta może być użyteczna do doszlifowania rozwiązania. Nie sprawdza się jako podstawowy sposób minimalizacji. Dobór parametru r jest czasochłonny.

Literatura

[1] *Instrukcja do ćwiczenia UPEL MOFiT, dostęp 31 maja 2025*